

# Школа ПИЯФ ФКС-2011

Роцино



# Низкотемпературная сверхпроводимость

Д.Н. Аристов  
ПИЯФ, СПбГУ

# план лекции

- электроны и фононы, взаимодействие
- куперовская неустойчивость
- модель БКШ, щель в спектре,  $T_c$
- скачок в теплоемкости, эффект Мейснера
- функционал Гинзбурга-Ландау

«Как мы все понимаем,  
если есть  $\lambda$ ,  
то есть и  $\Delta$ ...»

из фольклора

# Немного истории

- Камерлинг-Оннес, 1911 ртуть при  $T < 4\text{K}$ . разрушение СП магнитным полем, также разрушение сильным током
- Эффект Мейснера, 1933, выталкивание поля из образца – левитация, глубина проникновения  $10^{-5}$  см
- Скачок теплоемкости при  $T_c$ , фазовый переход 2-го рода
- Изотоп эффект:  $T_c \sim M^{-1/2}$  : Механизм – взаимодействие с фононам, Frölich 1950
- Эффективное притяжение: БКШ (BCS)  
Bardeen, Cooper, Schrieffer 1957 ; Боголюбов 1958

# Электронны и фононы

электронны - это  $e$ , « $r$ »  
ядра - это  $n$ , « $R$ »  
заряд иона =  $Z_j$

$$\mathcal{H} = K_e + K_n + U_{ee} + U_{en} + U_{nn},$$

$$K_e = -\frac{1}{2m_e} \sum_i^N \frac{\partial^2}{\partial r_i^2}, \quad K_n = -\sum_j^{N_1} \frac{1}{2M_j} \frac{\partial^2}{\partial R_j^2},$$

$$U_{ee} = \frac{1}{2} \sum_{i \neq j}^N \frac{e^2}{|r_i - r_j|}, \quad U_{en} = \sum_i^N \sum_j^{N_1} \frac{e^2 Z_j}{|r_i - R_j|},$$

$$U_{nn} = \frac{1}{2} \sum_{i \neq j}^{N_1} \frac{e^2 Z_i Z_j}{|R_i - R_j|}$$

т.о. все определяется кулоновским отталкиванием, но в силу большой разницы в массе между электронами и ядрами, последние движутся медленнее, описываются в терминах колебаний решетки и могут служить источником эффективного притяжения для электронов.

$$|e| = \hbar = m_e = 1, \quad M_j \sim 10^3 - 10^5$$

здесь мы перешли к атомной системе единиц, которая экономит запись формул.

6 ИЗ 36 Born-Oppenheimer

# Электроны и фононы

## приближение Борна-Оппенгеймера

Типичная энергия электронов:

$$\langle K_e \rangle \sim E_F \sim 1 \text{ eV},$$

$$\langle K_e \rangle \simeq \langle U_{ee} \rangle \sim \frac{e^2}{a} \sim 0.1 \text{ a.e.} \sim 1 \text{ eV}$$

атомная единица энергии = 27.2 eV  
 1 eV = 11 000 K,  $a$  = межатомное расст.,  
 скорость звука  $s$  в твердых телах -  
 порядка км/с  
 $\omega_D$  - энергия Дебая, характеризующая  
 колебания решетки, обычно порядка 10 meV

Типичная энергия в решетке:

$$\langle K_n \rangle \sim \omega_D = sa^{-1} \sim \sqrt{\frac{e^2}{aM}} \frac{1}{a} \sim \frac{\langle K_e \rangle}{\sqrt{M}}$$

Малый параметр  
теории:

$$\alpha = \frac{\omega_D}{E_F} \sim \frac{1}{\sqrt{M}} \sim 10^{-2}$$

# Электроны и фононы

Разложение по степеням смещений:  $R_j = R_j^0 + u_j$

$$\mathcal{H} = \mathcal{H}^{(0)} + \mathcal{H}^{(1)} + \mathcal{H}^{(2)} + \dots$$

$$\mathcal{H}^{(0)} = K_e + U_{ee} + (U_{en} + U_{nn}) \Big|_{\{R_j = R_j^0\}},$$

$$\mathcal{H}^{(1)} = \sum_j \frac{\partial(U_{en} + U_{nn})}{\partial R_j^\alpha} u_j^\alpha,$$

$$\mathcal{H}^{(2)} = K_n + \frac{1}{2} \sum_{j\ell} u_j^\alpha \frac{\partial^2(U_{en} + U_{nn})}{\partial R_j^\alpha \partial R_\ell^\beta} u_\ell^\beta.$$

на первом этапе учитываются внутренние электроны, которые экранируют заряд ядра и не участвуют в электрическом токе. после этого рассматриваем ионы (большая масса, но малый заряд). затем нужно совместно учитывать коллективизированные электроны проводимости и ионы. одновременный учет электрон-ионного и ион-ионного взаимодействия - это отдельная сложная задача, которая выполняется с помощью отработанных численных методов.

$$\mathcal{H} = \mathcal{H}^{(0)} + \mathcal{H}^{(1)} + \mathcal{H}^{(2)} + \dots$$

$$\mathcal{H}^{(0)} = K_e + U_{ee} + (U_{en} + U_{nn}) \Big|_{\{R_j = R_j^0\}},$$

$$\mathcal{H}^{(1)} = \sum_j \frac{\partial(U_{en} + U_{nn})}{\partial R_j^\alpha} u_j^\alpha,$$

$$\mathcal{H}^{(2)} = K_n + \frac{1}{2} \sum_{j\ell} u_j^\alpha \frac{\partial^2(U_{en} + U_{nn})}{\partial R_j^\alpha \partial R_\ell^\beta} u_\ell^\beta.$$

☉ решается  $\mathcal{H}^{(0)}$ , для энергий  $E \geq \omega_C > \omega_D$

☉ решается  $\mathcal{H}^{(2)}$ , для энергий  $E \leq \omega_D$

используется  $U_{en} + U_{nn}$  из 1й части

☉ находится  $\mathcal{H}^{(1)}$ ,  $U_{en} + U_{nn}$  - также из 1й части

# Электроны и фононы

Таким образом «интегрируются» высокие энергии; приходим к модели где электроны обладают остаточным взаимодействием (иначе все металлы бы сверхпроводили) и «определены» в полоске энергий возле энергии Ферми,  $|E| \leq \omega_C$

Интересуемся явлениями на малых энергиях,  
 $|E| \sim T \ll \omega_D$

Иерархия масштабов:

$$\Delta \ll \omega_D \ll \omega_C \ll E_F$$

1 meV, 10 meV, 100 meV, 1 eV

# Электроны и фононы

$$\mathcal{H} = \mathcal{H}_e + \mathcal{H}_{ph} + \mathcal{H}_{eph} + \mathcal{H}_{ee}$$

$$\mathcal{H} = \sum_{p\alpha} \varepsilon_p a_{p\alpha}^+ a_{p\alpha} + \sum_p \omega_p b_p^+ b_p$$

$$+ \sum_{pq\alpha} v_{p,q} a_{p\alpha}^+ a_{q\alpha} (b_{-p+q}^+ + b_{p-q})$$

$$+ \sum_{\substack{p_1 p_2 p_3 p_4 \\ \alpha \beta}} \mu(p_i) a_{p_1 \alpha}^+ a_{p_2 \beta}^+ a_{p_3 \beta} a_{p_4 \alpha}$$

ограничение по энергиям:  $|\varepsilon_p| \leq \omega_C$

# Модель БКШ

(Бардин, Купер, Шриффер)

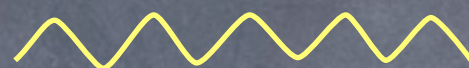
диаграммы Фейнмана:

электрон



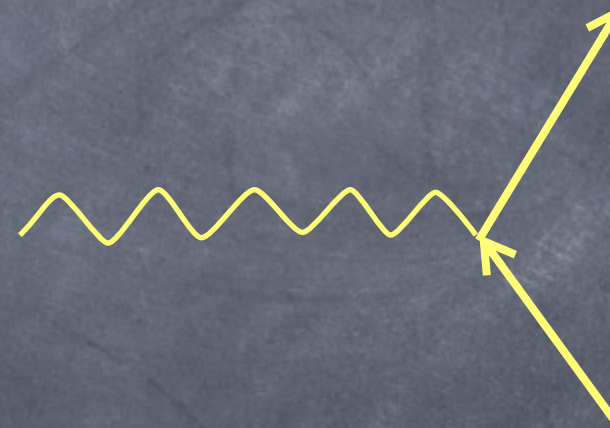
$\mathcal{H}_e$

фонон



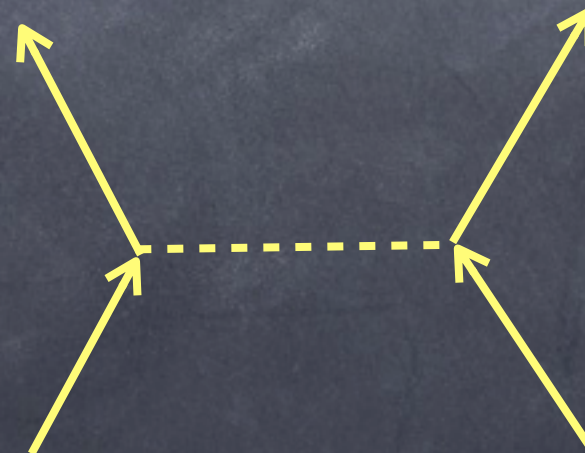
$\mathcal{H}_{ph}$

испускание фонона



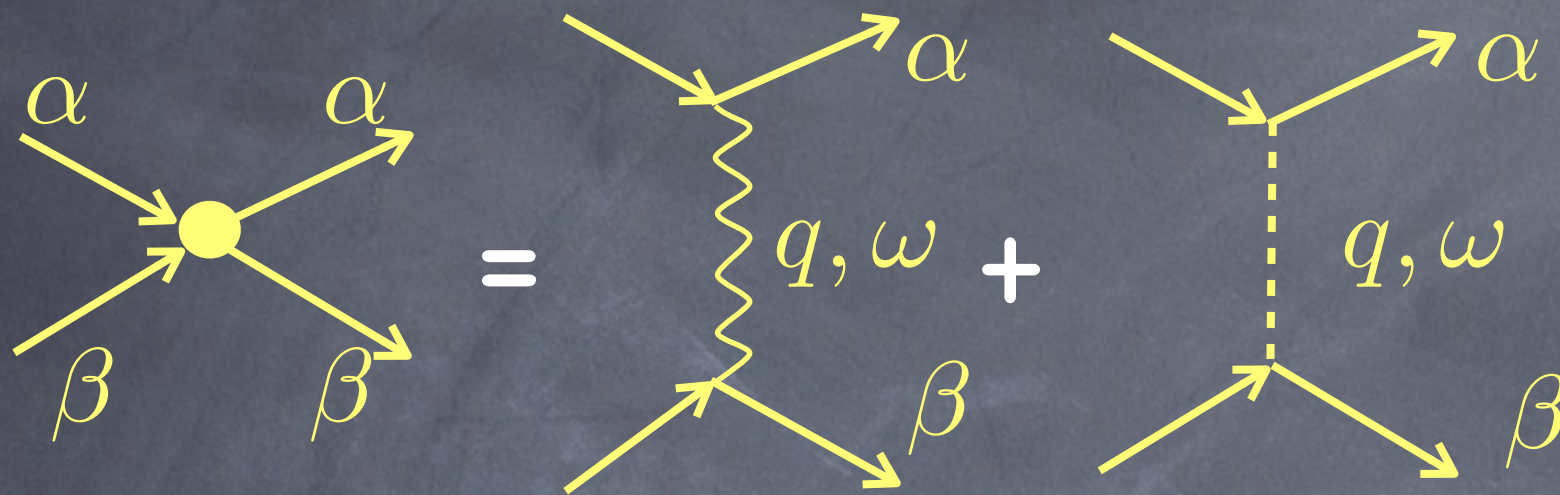
$\mathcal{H}_{eph}$

эл.-эл. взаимодействие



$\mathcal{H}_{ee}$

# Модель БКШ



$$D(\omega, q) = \sum_j \frac{|v_q^2|}{M} \frac{(\bar{q}e_j)(\bar{q}e_j^*)}{\omega^2 - \omega_{jq}^2}, \quad v_q \sim \frac{e^2}{a}$$

$$\sim \left( \frac{e^2}{a} \right), \quad \omega \ll \omega_D$$

эфф. притяжение

$$\sum_{ij} \frac{e^2}{|r_i - r_j|} \rightarrow \left( \frac{e^2}{a} \right) \int dr_1 dr_2 \rho(r_1) \rho(r_2) \delta(r_1 - r_2)$$

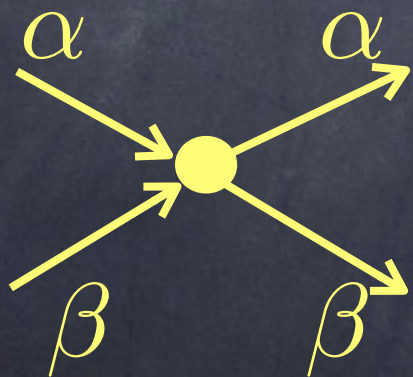
ОТТАЛКИВАНИЕ

# Модель БКШ

$$\mathcal{H}_{BCS} = \sum_{p\alpha} \varepsilon_p a_{p\alpha}^{\dagger} a_{p\alpha} + \frac{\lambda}{2} \int d\vec{r} a_{\alpha}^{\dagger}(r) a_{\beta}^{\dagger}(r) a_{\beta}(r) a_{\alpha}(r), \quad \lambda < 0.$$

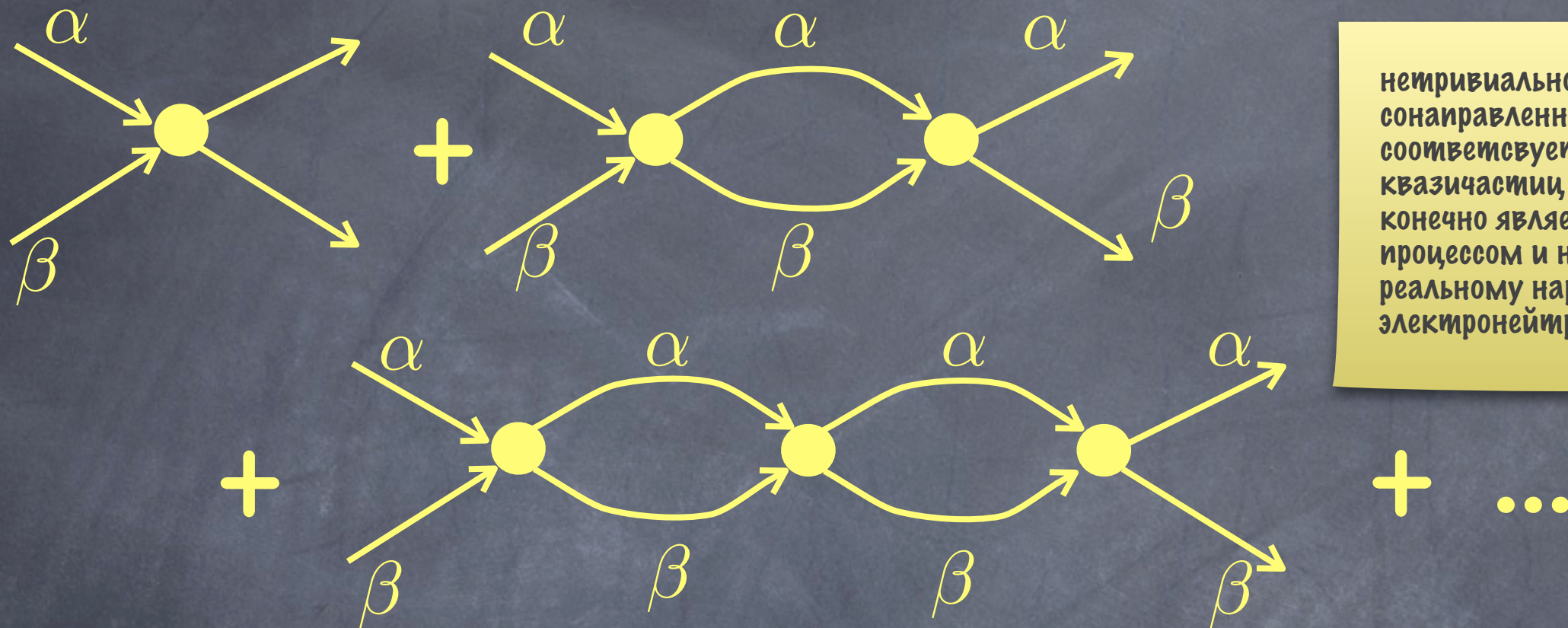
суммирование по спину ( $\alpha\beta$ );

энергия – в узкой полоске,  $|\varepsilon_p - E_F| \leq \omega_D$



в модели БКШ величина взаимодействия представляется как сумма притяжения через фононы и остаточного отталкивания между «квазичастицами» электронами (квазичастицы – поскольку это электроны, уже «одетые» взаимодействием с ионами и друг с другом). Замечательно то, что к разгадке сверхпроводимости привело наблюдение изотоп-эффекта, то есть зависимость температуры перехода от массы иона при прочих равных условиях. Ясно, что такая зависимость наиболее ясно проявляется лишь в веществах с пренебрежимо малым вкладом от остаточного отталкивания. Можно сказать, что физикам повезло с наблюдением изотоп-эффекта.

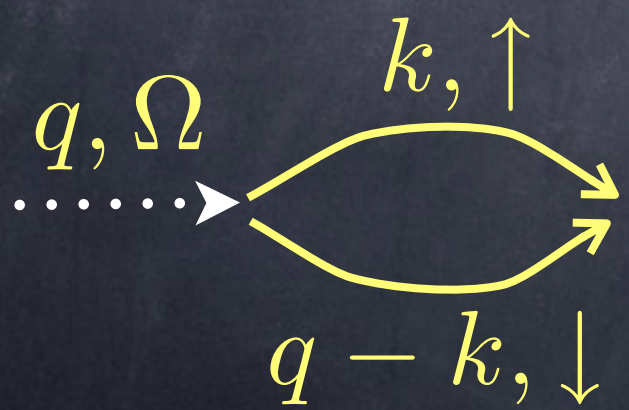
# Куперовская неустойчивость



не trivialность этого рисунка - в сонаправленности стрелок. это соответствует рождению пар квазичастиц «электронов», что конечно является виртуальным процессом и не соответствует реальному нарушению электронейтральности кристалла.

$$= \lambda + \lambda^2 \Pi_C + \lambda^3 \Pi_C^2 + \dots = \frac{\lambda}{1 - \lambda \Pi_C}$$

в куперовской паре участвуют электроны с разнонаправленными импульсами (латинские буквы) и спинами (стрелки, греческие буквы)



$$\Pi_C(q = 0, \Omega = 0) = -\frac{v_F}{2} \ln \frac{2\omega_D \gamma}{\pi T}$$

$$\gamma \simeq 1.78$$

# Куперовская неустойчивость

$$\lambda \rightarrow \frac{\lambda}{1 - \lambda \Pi_C} = \lambda \frac{1}{1 + \lambda \frac{\nu_F}{2} \ln \frac{2\omega_D \gamma}{\pi T}} \simeq -\frac{2}{\nu_F} \frac{T_c}{T - T_c}$$

при  $T \simeq T_c = \frac{2\gamma}{\pi} \omega_D e^{-2/(|\lambda|\nu_F)}$

мы видим, что «одетое» или «перенормированное» взаимодействие становится очень большим с понижением температуры до температуры перехода (которая, однако, экспоненциально мала). Это означает, что нарушается наше исходное предположение, о том, что взаимодействие м.б. рассмотрено как малое возмущение.

Необходимость перестройки  
основного состояния металла.  
БКШ, Боголюбов (1958)

# сверхпроводящий металл

$$\lambda a_{1\uparrow}^+ a_{2\downarrow}^+ a_{3\downarrow} a_{4\uparrow} \rightarrow \lambda a_{1\uparrow}^+ a_{2\downarrow}^+ \langle a_{3\downarrow} a_{4\uparrow} \rangle + \lambda \langle a_{1\uparrow}^+ a_{2\downarrow}^+ \rangle a_{3\downarrow} a_{4\uparrow}$$
$$\rightarrow \Delta a_{p\uparrow}^+ a_{-p\downarrow}^+ + \Delta^* a_{p\downarrow} a_{-p\uparrow}$$

выделение термодинамически большого среднего числа пар в основном состоянии системы - оправдано как хорошее стартовое приближение. мы платим за это необычным свойством несохранения числа квазичастиц.

на уровне «среднего поля»:  
несохранение числа квазичастиц,  
появление конденсата куперовских пар

$$\mathcal{H} = \sum_p (\varepsilon_p a_{p\uparrow}^+ a_{p\uparrow} + \varepsilon_p a_{p\downarrow}^+ a_{p\downarrow} + \Delta a_{p\uparrow}^+ a_{-p\downarrow}^+ + \Delta^* a_{p\downarrow} a_{-p\uparrow})$$

# Преобразование Боголюбова

$$\begin{cases} a_{p\uparrow} = u_p c_{p\uparrow} + v_p c_{-p\downarrow}^+ \\ a_{-p\downarrow}^+ = -v_p^* c_{p\uparrow} + u_p c_{-p\downarrow}^+ \end{cases}$$

$a$  - операторы исходных квазичастиц,  
 $c$  - операторы «истинных» квазичастиц, в СП  
состоянии.

$$\{a_{p\alpha}, a_{p'\beta}^+\} = \delta_{pp'} \delta_{\alpha\beta} = \{c_{p\alpha}, c_{p'\beta}\}$$

отсюда  $\implies u_p^2 + |v_p|^2 = 1$

Новые квазичастицы над СП основным состоянием.  
Вид  $(u, v)$  можно определить методом вариации  
энергии (Абрикосов, Халатников '58)

$$\frac{\delta}{\delta v_p} \langle \mathcal{H} - \mu N \rangle = 0$$

переписываем гамильтониан в новых операторах  $c$  и  
требуем его диагональности, варьируем и налагаем  
условие связи на  $(u, v)$ ,

# Уравнение на щель

$$\Delta = (-\lambda) \sum_q u_q v_q (1 - n_{q\downarrow} - n_{q\uparrow})$$

$$u_p^2 = \frac{1}{2} \left( 1 + \frac{\varepsilon_p}{E_p} \right), \quad v_p^2 = \frac{1}{2} \left( 1 - \frac{\varepsilon_p}{E_p} \right),$$

Энергия квазичастицы

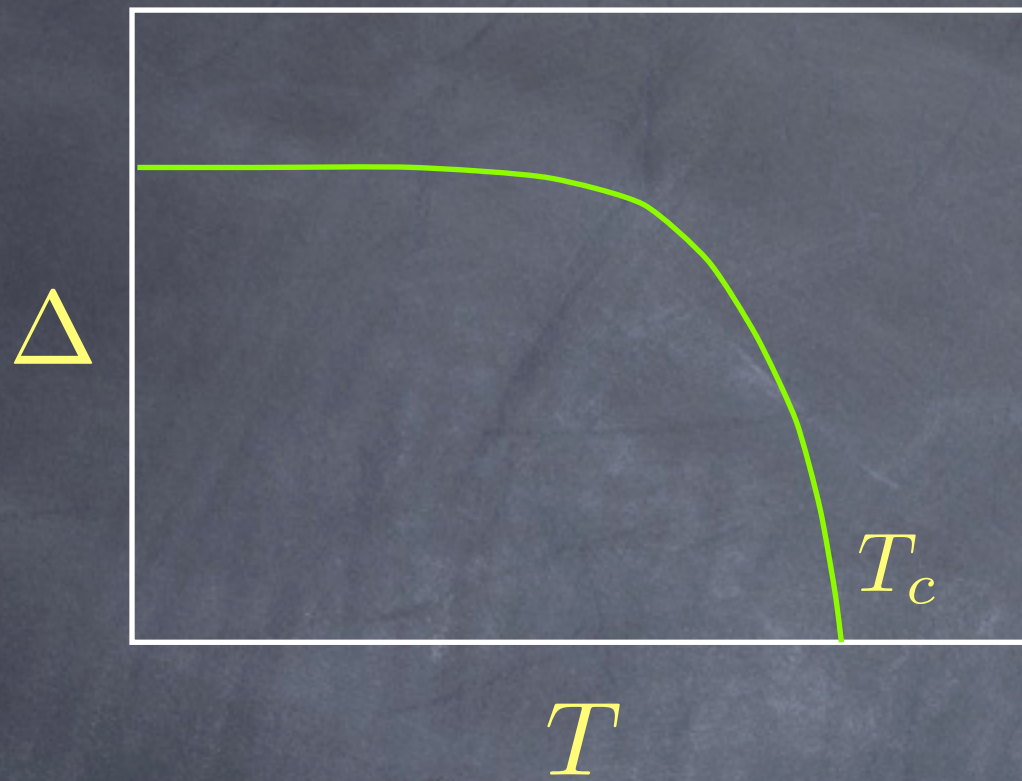
$$E_p = \sqrt{\varepsilon_p^2 + \Delta^2}$$

$$\Delta = |\lambda| \sum_p \frac{\Delta}{2\sqrt{\Delta^2 + \varepsilon_p^2}} \operatorname{th} \left( \frac{\sqrt{\Delta^2 + \varepsilon_p^2}}{2T} \right)$$

$$1 = |\lambda| \frac{v_F}{2} \int_0^{\omega_D} \frac{d\varepsilon}{\sqrt{\Delta^2 + \varepsilon^2}} \operatorname{th} \left( \frac{\sqrt{\Delta^2 + \varepsilon^2}}{2T} \right)$$

ИЛИ

# Уравнение на щель



$$\Delta(T=0) = \frac{\pi}{\gamma} T_c = 1.76 T_c$$

при аккуратном выводе  $T_c$  из уравнения на щель (т.е.  $T$  при которой щель = 0) получается такой же, как и из условия куперовской неустойчивости.

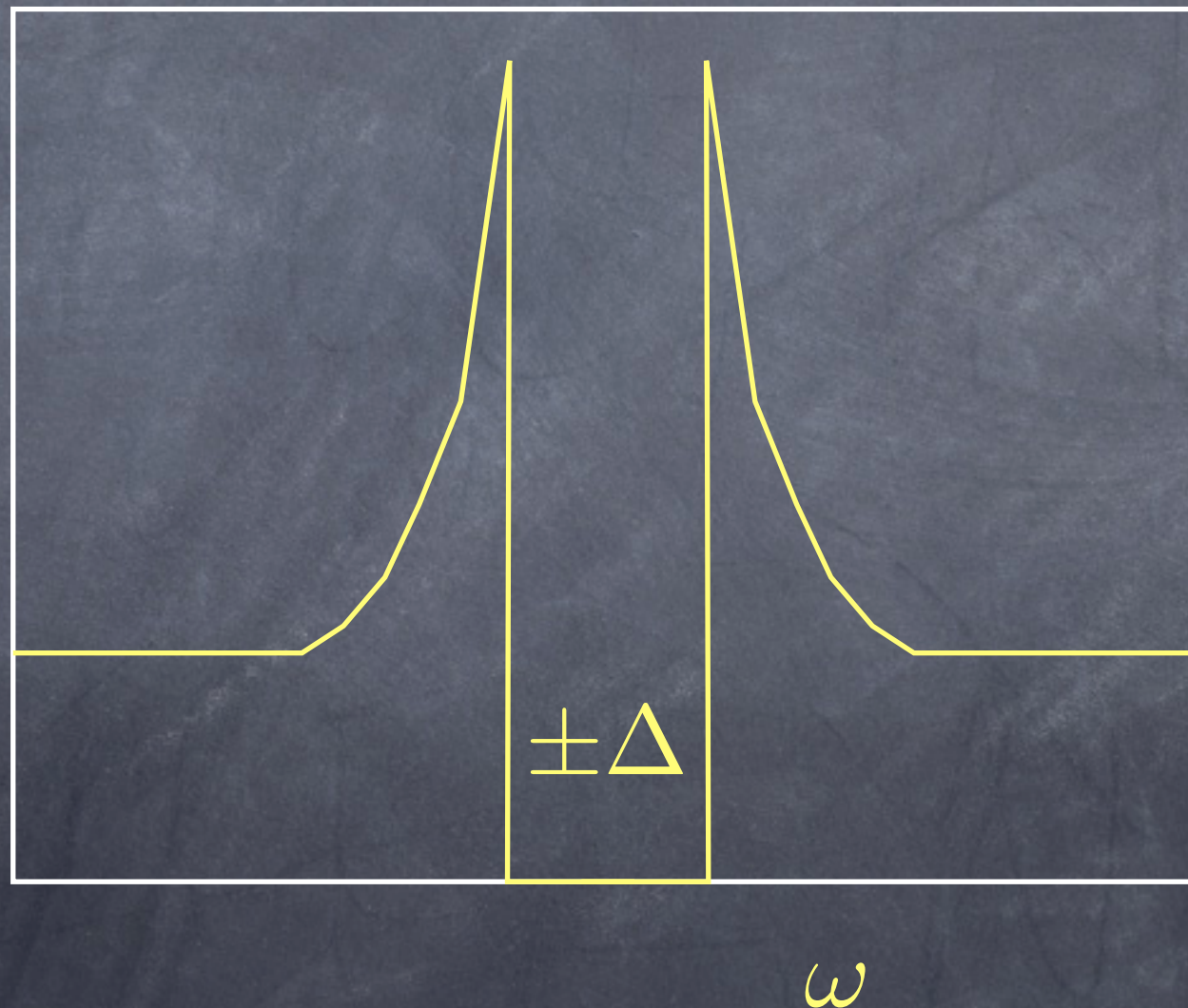
Возле  $T_c$

$$\Delta \simeq 3.06 \sqrt{T_c(T_c - T)}$$

фазовый переход 2 рода в теории Ландау,  
 $\Delta$  - параметр порядка

# туннельная плотность состояний

$$\rho(\omega) = \sum_p \mathcal{A}(\omega, p) = \nu_F \frac{|\omega|}{\sqrt{\omega^2 - \Delta^2}}$$



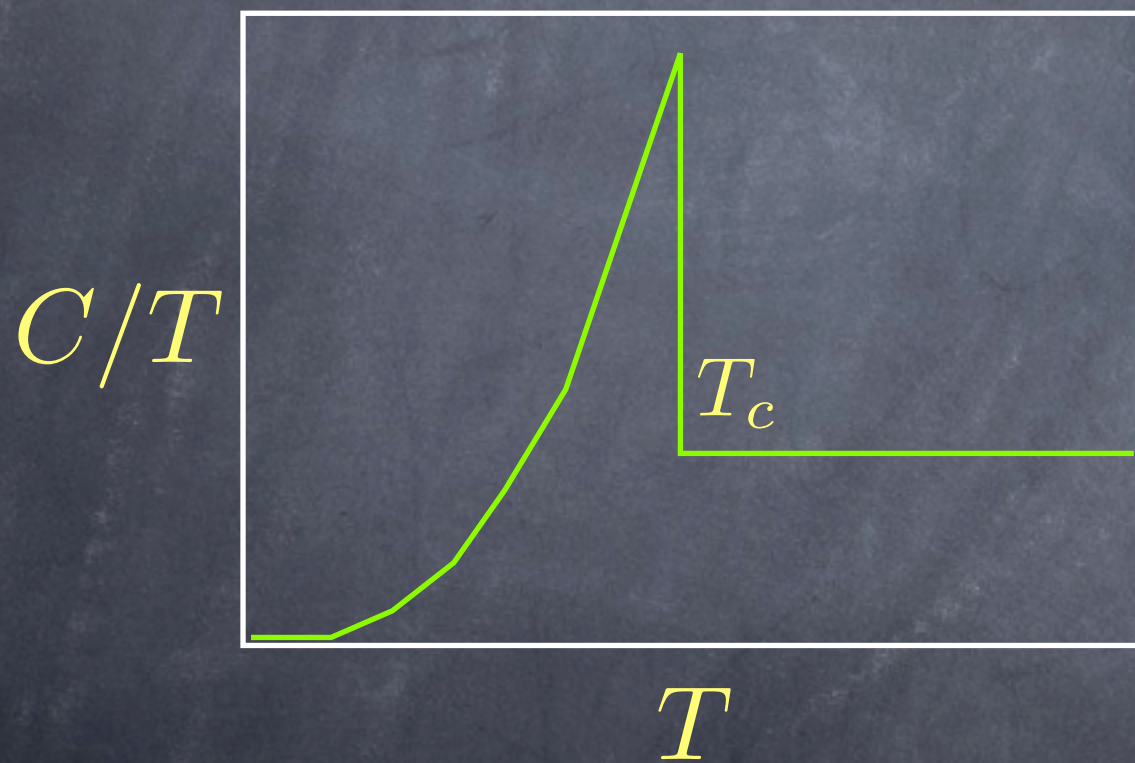
такая величина определяется экспериментально, изучая туннельный ток из металлического зонда в сверхпроводник, как функцию напряжения смещения

# Скачок в теплоемкости

$$C = T \frac{\partial^2}{\partial T^2} \langle \mathcal{H} - \mu N \rangle$$

в нормальном металле

$$C \sim T$$



резкий скачок при  $T_c$ ,  
затем экспоненциальное убывание с  
понижением температуры

величина скачка - универсальна, т.е.  
не зависит от деталей теории!

$$\frac{C_n + C_S}{C_n} \Big|_{T=T_c} = 1 + \frac{12}{7} \frac{1}{\zeta(3)} \simeq 2.42$$

# Эффект Мейснера (Meißner, 1933)

$$j = \sigma E = \left( \sigma \frac{dA}{dt} \right) = i\omega \sigma(\omega) A(\omega);$$

$$\sigma(\omega) = \frac{1}{i\omega} \frac{\langle j(\omega) \rangle}{A(\omega)}$$

эта формула в теории линейного отклика становится т.н. формулой Кубо.  
погружаем кулоновскую калибровку вектор-потенциала  $A$  и отсутствие скалярного пот. поля

если  $\langle j(\omega) \rangle / A(\omega)$  конечна, то  $\sigma(\omega \rightarrow 0) \rightarrow \infty$

электрон в период. потенциале (Peierls; Kohn, Luttinger)

$$\frac{1}{2m} \left( p - \frac{e}{c} A \right)^2 \rightarrow \varepsilon(p - eA/c)$$

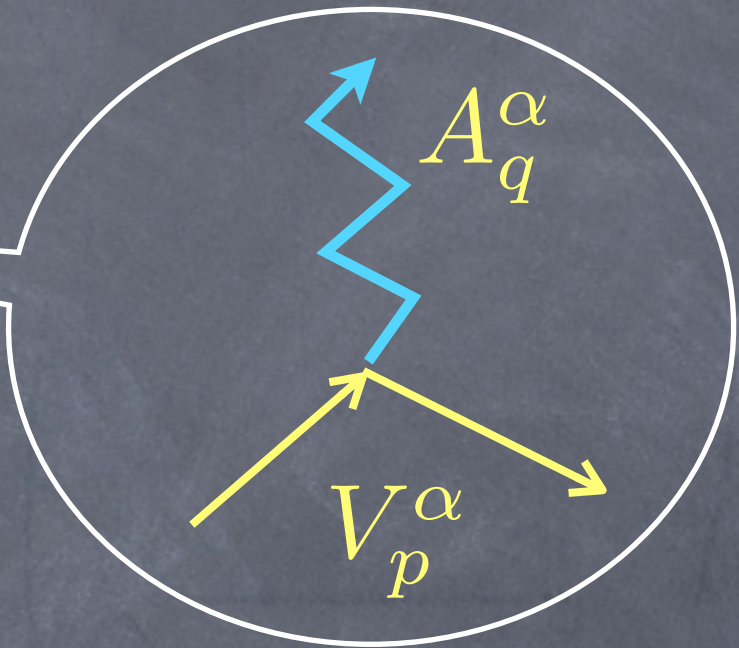
$$\rightarrow \varepsilon_p a_p^+ a_p - \frac{e}{c} a_{p+q/2}^+ a_{p-q/2} A_q^\alpha \frac{\partial \varepsilon_p}{\partial p^\alpha}$$

$$+ \frac{e^2}{2c^2} a_{p+\frac{q_1+q_2}{2}}^+ a_{p-\frac{q_1+q_2}{2}} A_{q_1}^\alpha A_{q_2}^\beta \frac{\partial^2 \varepsilon_p}{\partial p^\alpha \partial p^\beta}$$

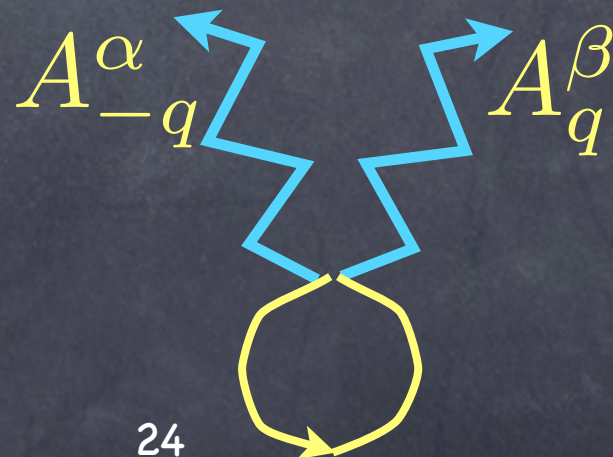
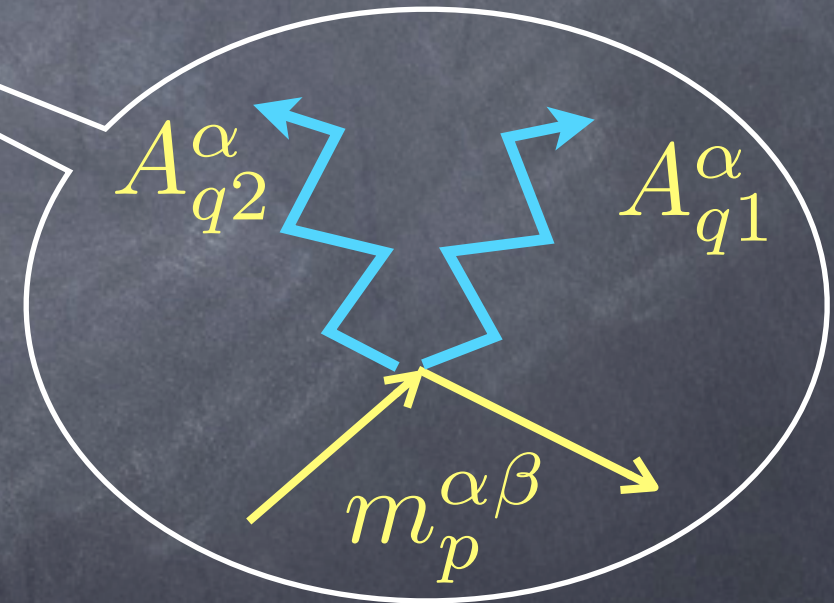
# Эффект Мейснера

$$\varepsilon_p a_p^+ a_p - \frac{e}{c} a_{p+q/2}^+ a_{p-q/2} A_q^\alpha \frac{\partial \varepsilon_p}{\partial p^\alpha}$$

$$+ \frac{e^2}{2c^2} a_{p+\frac{q_1+q_2}{2}}^+ a_{p-\frac{q_1+q_2}{2}} A_{q_1}^\alpha A_{q_2}^\beta \frac{\partial^2 \varepsilon_p}{\partial p^\alpha \partial p^\beta}$$

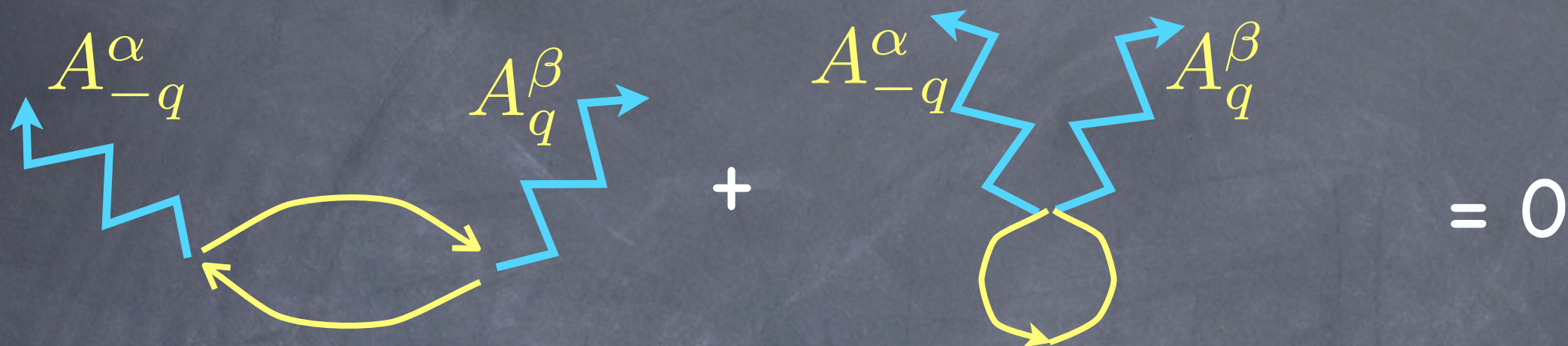


$$\langle j_q^\alpha \rangle = -c \frac{\partial}{\partial A_{-q}^\alpha} \langle \mathcal{H} - \mu N \rangle$$



# Эффект Мейснера

нормальный металл, в пределе  $\omega \rightarrow 0$  :



тождество Уорда, закон сохранения заряда.

СП металл – несохранение числа квазичастиц

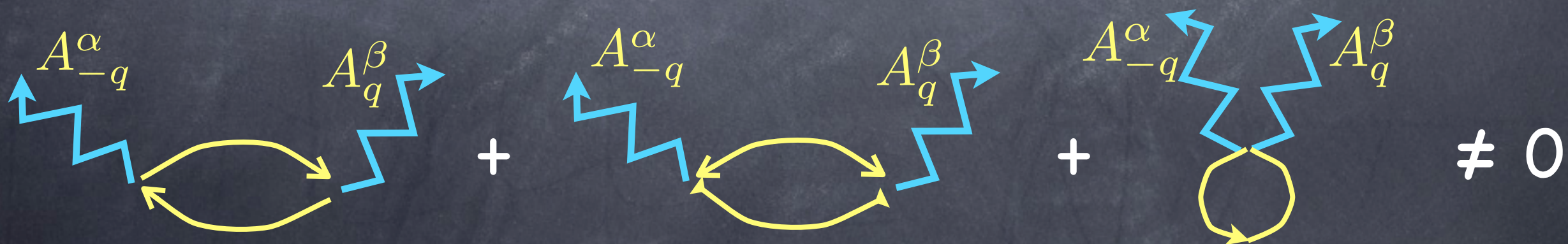


диаграмма типа «рыба»

$$\langle a_{p\uparrow}^+ a_{-p\downarrow}^+ \rangle \neq 0$$

25 ИЗ 36

диаграмма типа «головастик»

# Эффект Мейснера

ток в СП металле, предел  $T \rightarrow 0$  :

$$\langle j_q^\alpha \rangle = 2 \frac{e^2}{c} A_q^\beta \sum_p \left( V_p^\alpha V_p^\beta \frac{E_{p+} E_{p-} - \varepsilon_{p+} \varepsilon_{p-} - \Delta^2}{2E_{p+} E_{p-} (E_{p+} + E_{p-})} - \frac{\partial^2 \varepsilon_p}{\partial p^\alpha \partial p^\beta} \frac{E_p - \varepsilon_p}{2E_p} \right) = 0$$

изотропная модель:

$$\langle \mathbf{j}_{q \simeq 0} \rangle = - \frac{e^2}{mc} n \mathbf{A}_{q \simeq 0}$$

London & London (1935)

В этом пределе «головастик» - главный вклад. он обычно называется диамагнитным вкладом, ввиду своего знака и физических следствий.

- 1) расходимость проводимости
- 2) выталкивание поля из металла

эти два свойства - проявление одного явления

# Эффект Мейснера

выталкивание поля из СП образца

$$\langle \mathbf{j}_{q \simeq 0} \rangle = -\frac{e^2}{mc} n \mathbf{A}_{q \simeq 0}$$

$$\frac{4\pi}{c} \mathbf{j} = \text{rot } \mathbf{B} = \text{rot rot } \mathbf{A} \quad \text{ур. Максвелла}$$

$$\left( \nabla^2 - \frac{4\pi}{c} \frac{e^2}{mc} n \right) A^\alpha \equiv \left( \nabla^2 - \delta^{-2} \right) A^\alpha = 0$$

лондоновская

глубина проникновения

$$B(x) = B(0) \exp(-x/\delta)$$

экспон. убывание вглубь образца

поскольку вглубь поле не проникает, то ему приходится сгущаться возле границ образца. Это невыгодно по энергии и приводит к эффекту выталкивания образца из области поля.

# функционал Гинзбурга-Ландау

$$\int \mathcal{D}\{a\} e^{-\int_0^\beta d\tau S}$$

один из способов описывать квантовую механику - работать с «интегралами по траекториям», когда в экспоненте суммируются все возможные траектории (конфигурации) системы. читатель может ознакомиться с этим методом в учебниках.

$$S = \sum_p \left( a_p^\dagger (\partial_\tau) a_p + \varepsilon_p a_p^\dagger a_p \right) + \sum_{\{pi\}} \lambda a_{1\uparrow}^\dagger a_{2\downarrow}^\dagger a_{3\downarrow} a_{4\uparrow}$$

локальное взаимодействие.

$$\lambda \int dr a_{\uparrow}^\dagger a_{\downarrow}^\dagger a_{\downarrow} a_{\uparrow}$$

преобразование Хаббарда-Стратоновича:  
добавим гауссово интегрирование по  
вспом. полям

$$\mathcal{D}(X, Y) \exp \left[ \int d\tau dr \left( \frac{X^2}{\lambda} + \frac{Y^2}{\lambda} \right) \right]$$

это интегрирование ничего не дает для наблюдаемых и делается для нашего дальнейшего удобства. поля определены в каждой точке пространства и (мацубаровского) времени

# функционал Гинзбурга-Ландау

$$\mathcal{D}(X, Y) \exp \left[ \int d\tau dr \left( \frac{X^2}{\lambda} + \frac{Y^2}{\lambda} \right) \right]$$

сдвигка:

$$X = X' + \frac{\lambda}{2} (a_{\uparrow}^{\dagger} a_{\downarrow}^{\dagger} + a_{\downarrow} a_{\uparrow})$$

$$\Downarrow Y = Y' + \frac{\lambda}{2i} (a_{\uparrow}^{\dagger} a_{\downarrow}^{\dagger} - a_{\downarrow} a_{\uparrow})$$

$$\frac{X^2}{\lambda} + \frac{Y^2}{\lambda} = \frac{X'^2}{\lambda} + \frac{Y'^2}{\lambda} + (X' + iY') a_{\downarrow} a_{\uparrow}$$

$$+ (X' - iY') a_{\uparrow}^{\dagger} a_{\downarrow}^{\dagger} + \lambda a_{\uparrow}^{\dagger} a_{\downarrow}^{\dagger} a_{\downarrow} a_{\uparrow}$$

комплексный  
параметр

$$\Delta = X + iY$$

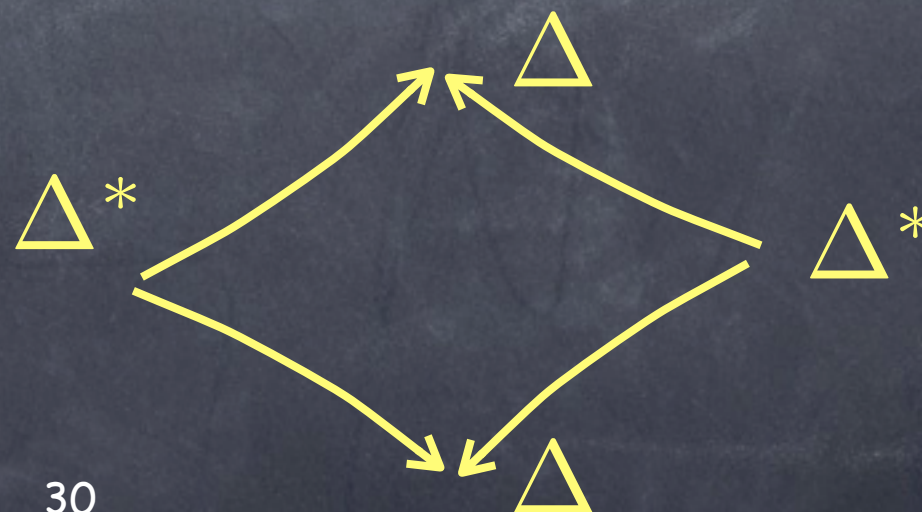
сокращает  
взаимодействие

# функционал Гинзбурга-Ландау

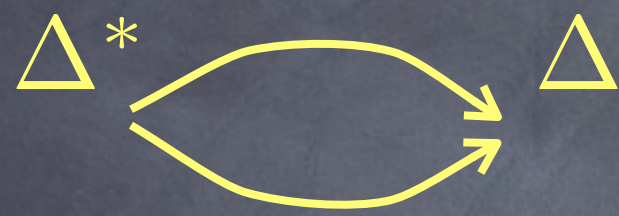
$$\mathcal{H} = \sum_p \varepsilon_p a_{p\alpha}^+ a_{p\alpha} + \int dr \left( \Delta(r) a_{\downarrow}(r) a_{\uparrow}(r) + \Delta^*(r) a_{\uparrow}^+(r) a_{\downarrow}^+(r) - \frac{|\Delta(r)|^2}{\lambda} \right)$$

проинтегрируем квадр.действие по фермионам  
получаем нелинейное, нелокальное действие по  $\Delta(r)$

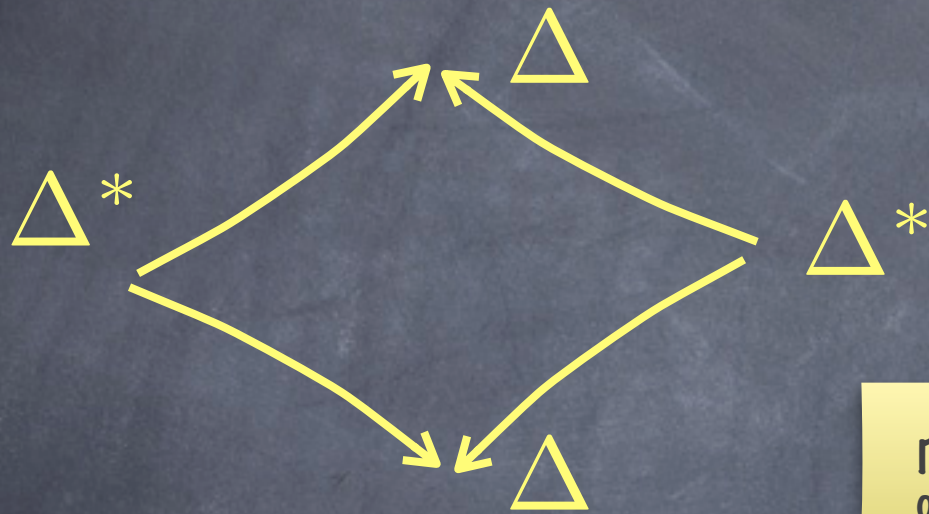
первые кумулянты для почти однородного  $\Delta(r)$



# функционал Гинзбурга-Ландау



$$\Pi_C(q) \simeq \Pi_C(0) - \frac{\nu_F}{2} \frac{q^2 v^2}{6(\pi T)^2} \frac{7\zeta(3)}{8}$$



$$- \frac{\nu_F}{2} \frac{1}{(\pi T)^2} \frac{7\zeta(3)}{8}$$

Горьков вывел те же формулы в рамках обычного формализма гриновских функций

Горьков 1959

Итого:

$$\int \mathcal{D}\Delta \mathcal{D}\Delta^* \exp \left( -\beta \int dr S_\Delta \right)$$

$$S_\Delta = \Delta^* \left( -\frac{1}{\lambda} - \frac{\nu_F}{2} \ln \frac{2\gamma \omega_D}{\pi T} + \frac{\nu_F}{2} \frac{v^2}{6(\pi T)^2} \frac{7\zeta(3)}{8} (i\nabla)^2 \right) \Delta$$

$$+ \frac{1}{2} \frac{\nu_F}{2} \frac{1}{(\pi T)^2} \frac{7\zeta(3)}{8} |\Delta|^4 + \dots$$

# функционал Гинзбурга-Ландау

$$S_{\Delta} = \Delta^* \left( -\frac{1}{\lambda} - \frac{\nu_F}{2} \ln \frac{2\gamma\omega_D}{\pi T} + \frac{\nu_F}{2} \frac{v^2}{6(\pi T)^2} \frac{7\zeta(3)}{8} (i\nabla)^2 \right) \Delta$$

$$+ \frac{1}{2} \frac{\nu_F}{2} \frac{1}{(\pi T)^2} \frac{7\zeta(3)}{8} |\Delta|^4 + \dots$$

однородное решение:

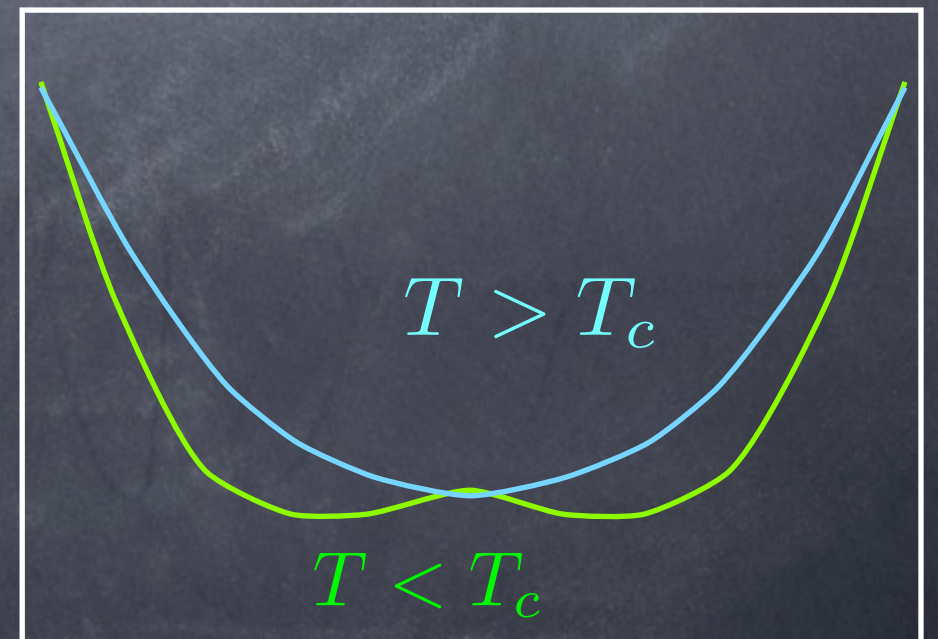
$$-\frac{1}{\lambda} - \frac{\nu_F}{2} \ln \frac{2\gamma\omega_D}{\pi T} = \frac{\nu_F}{2} \ln \frac{T}{T_C} \simeq \frac{\nu_F}{2} \frac{T - T_C}{T_C} \equiv \frac{\nu_F}{2} \tau$$

вблизи  $T_C$

вот такой вот двухъямный потенциал :)

$$\frac{\nu_F}{2} \left( \tau |\Delta|^2 + \frac{1}{2} \frac{7\zeta(3)}{8(\pi T_C)^2} |\Delta|^4 \right)$$

$$\Rightarrow \Delta = \pi T_C \sqrt{\frac{8}{7\zeta(3)}} \sqrt{-\tau}$$



# функционал Гинзбурга-Ландау

к безразмерным величинам :

$$\Delta = \left( 2m \frac{v_F}{4} \frac{v^2}{6(\pi T_C)^2} \frac{7\zeta(3)}{8} \right)^{-1/2} \Psi$$

при наличии э.-м. поля:

$$\Psi^* \frac{1}{4m} \left( -i\nabla - 2\frac{e}{c}A \right)^2 \Psi + ar|\Psi|^2 + \frac{b}{2}|\Psi|^4 + \frac{1}{8\pi} B^2$$

где  $a \sim T - T_c$

этот функционал, связывающий сверхпроводящий локальный параметр порядка и э.-м. поле, является главным инструментом анализа проникновения поля в сверхпроводник.

- $T \ll W_D \ll E_F$  (Борн-Оппенгеймер)
- гамильтониан Фрелиха
- фононы  $\Rightarrow$  притяжение в куперовском канале  $\Rightarrow$  неустойчивость осн.состояния
- гамильтониан БКШ, конденсат куперовских пар
- щель в спектре, скачок теплоемкости, эффект Мейснера = 0 сопротивления

# литература

- А.А. Абрикосов, Основы теории металлов. Москва, Наука, 1987.
- Дж. Шриффер, Теория сверхпроводимости. Москва, ИЛ, 1970.
- Helmut Eschrig, Microscopic Theory of Superconductivity, <http://www.ifw-dresden.de/institutes/itf/members/helmut>

В лекциях Эшрига дается весьма подробный вывод и обоснование гамильтониана БКШ. Достоинством этих лекций является указание на современные методы расчетов зонной структуры и электронных систем, возникшие после 1990 года, т.е. в эпоху мощных компьютеров и много лет спустя оригинальной теории, которая может иной раз показаться не вполне обоснованной.

Спасибо за  
внимание !

